

Modelli analitici: SPIW

SPIW: probabilità di perdita

- Modello analitico proposto può essere usato per valutare le prestazioni di questa architettura:

- In questo caso i pacchetti sulla stessa lunghezza d'onda contendono fra loro per solo B TWC;

- Per la MS-B&S, solo P_{bwc} deve essere adattata, tutto il resto del modello è identico:

$$P_{loss} = P_u + P_b \cdot \left(1 - \frac{P_u}{P_b}\right) \cdot P_{bwc}$$

$$P_u = \sum_{h=M+1}^{N \cdot M} \left(1 - \frac{M}{h}\right) \binom{N \cdot M - 1}{h - 1} \left(\frac{p}{N}\right)^{h-1} \left(1 - \frac{p}{N}\right)^{N \cdot M - h}$$

$$P_b = \sum_{h=2}^N \left(1 - \frac{1}{h}\right) \binom{N - 1}{h - 1} \left(\frac{p}{N}\right)^{h-1} \left(1 - \frac{p}{N}\right)^{N - h}$$

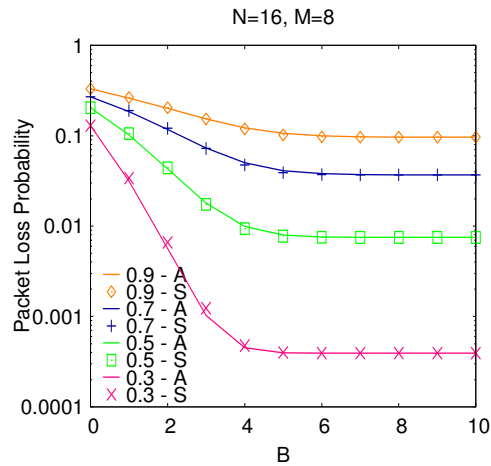
$$P_{bwc} = \sum_{h=B+1}^N \left(1 - \frac{B}{h}\right) \binom{N - 1}{h - 1} (A_{wc})^{h-1} (1 - A_{wc})^{N - h}$$



**fino a N pacchetti
contendono per B
TWCs**

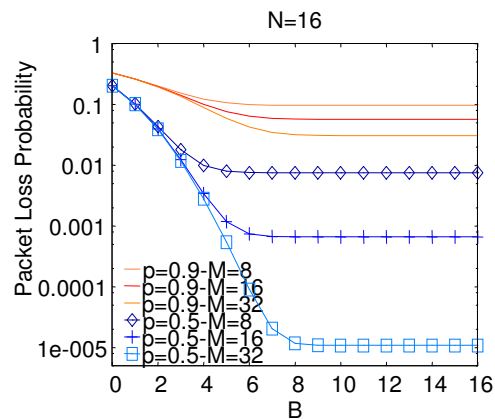
SPIW: model accuracy

- Simulation set-up:
 - $N=16, M=8$;
- Packet loss probability as a function of the number of TWC blocks is evaluated in according to different values of load per wavelength;
- Multistage architecture allows to save TWC blocks;
- Packet loss is high due to the lack of optical buffer;



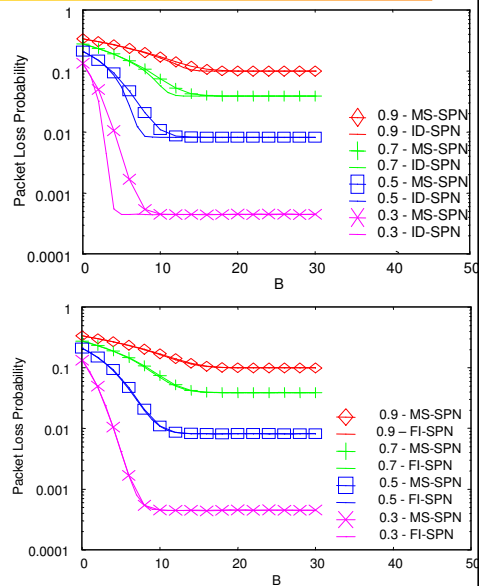
SPIW: packet loss evaluation

- Set-up: $N=16, M=8-16-32$;
- Packet loss probability as a function of number of TWC blocks varying number of wavelengths per fibre and load;
- When number of wavelengths increases, packet loss decreases;



Confronto fra architettura SPIW e architettura di riferimento (ID-SPN): prestazioni

- Stesso valore asintotico della PLP
- Con tunable-input TWCs, ID-SPN permette un risparmio maggiore in termini di TWC
- Con fixed-input TWCs, stesse prestazioni



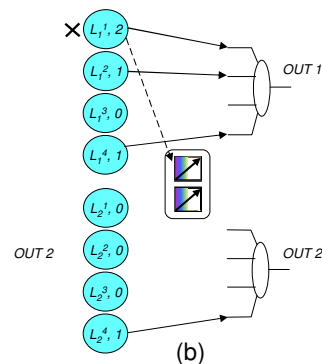
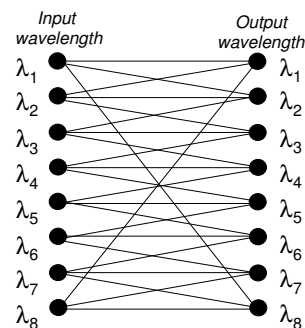
Modelli analitici: SPN limited range

Utilizzo dei convertitori Limited Range per ulteriore risparmio

- Stesse architetture equipaggiate con convertitori limited range
- Il modello analitico proposto va esteso, non stravolto

Probabilità di perdita con limited range: modello analitico (1)

- Tre possibili cause di perdita del pacchetto
 - Fibra di uscita congestionata
 - Range di conversione limitato
 - Numero di convertitori insufficiente



Probabilità di perdita con limited range: modello analitico (2)

$$P_{loss} = P_u + P_b \left(1 - \frac{P_u}{P_b} \right) P_{inconv}$$

Probabilità che il pacchetto non possa essere convertito

dove:

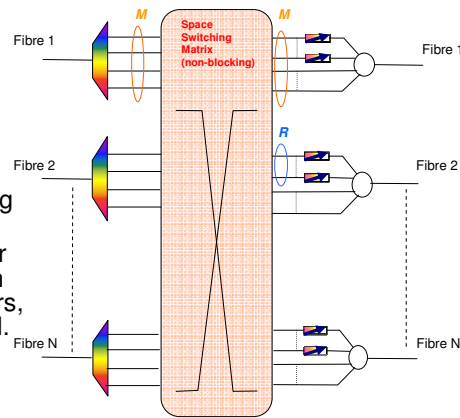
$$P_{inconv} = P_{lr} + (1 - P_{lr}) P_{bwc}$$

e P_{lr} è la probabilità che il pacchetto sia perso dovuto al range di conversione limitato

Modelli analitici: SPL

Shared per output link architecture

- Each output link is provided with a dedicated set of R TWCs.
- The TWCs of the same set can be used only by packets addressed to the related output link.
- The optical switching fabric can be configured to forward a packet to a link with or without TWCs, depending on traffic conditions.
- Input packets are first considered for forwarding on the same wavelength on input. If channel contention occurs, wavelength conversion is performed.
- Not all packets need conversion at the same time slot, so some TWC saving can be achieved



Packet loss probability

- Packet loss probability is evaluated on single output fibre “ j ”;
- Packets are lost when output fibre j is congested;
- Congestion on output fibre j occurs when:
 - Case 1: all wavelengths are busy, as well as full wavelength conversion;
 - Case 2: the number of packets that needs conversion is higher than the number of TWCs;

Loss probability: case 1

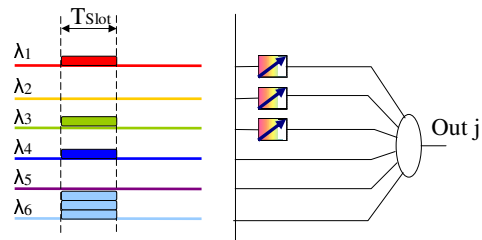
- G number of different wavelengths sending packets to output j
- M - R channels without TWCs
- Case 1: $G \geq M - R$
 - M - R packets are transmitted to the output channels without TWC;
 - All channels without TWC are exploited
 - R packets are transmitted to the output channels with TWC;
 - Total packets transmitted: M, remaining packets are lost;
 - Number of transmitted packets is the same as in the full conversion case;

Example:

M=6,

R=3,

G = 4 > M - R;



Loss probability: case 2

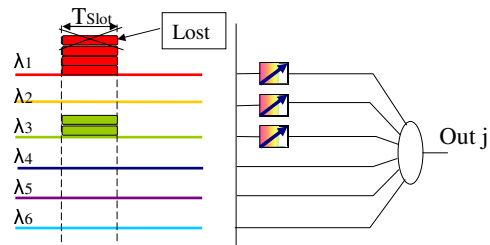
- G number of different wavelengths sending packets to output j
- M - R channels without TWC
- Case 2: $G < M - R$
 - G packets are transmitted to the output channels without TWC;
 - R packets are transmitted to the output channels with TWC;
 - Total packets transmitted: $G + R < M$, remaining packets are lost.
- Not all channels without TWC can be exploited to transmit packets
 - loss is higher than in the full wavelength conversion case;

Example:

M=6,

R=3,

G = 2 < M - R;



Analytical model: variables

- p : arrival probability on a wavelength in a time slot;
- A_j : probability of an arrival for output fibre j ;
- G : number of active wavelengths (with at least one packet for output j)
- D_G : probability of G active wavelengths;
- $\Gamma_{h|G}$: probability of h arrivals to output j given G active wavelengths
- N_l^j : number of lost packets on output j in a time slot;
- N_o^j : number of packets offered to output j in a time slot;
- P_l : packet loss probability.

Expression of packet loss probability P_l

- P_l can be expressed in relation to the generic output j by definition as the ratio between the averages of N_l^j and N_o^j :

$$P_l = \frac{E[N_l^j]}{E[N_o^j]}$$

- Under the assumption of uniform traffic the average number of packets offered to output j in a time slot, N_o^j , is given by

$$E[N_o^j] = N \cdot M \cdot p \cdot \frac{1}{N} = M \cdot P$$

- and the average number of lost packets on output j in a time slot, N_l^j , is given by

$$E[N_l^j] = \sum_{G=1}^M E[N_l^j | G] \cdot D_G$$

– where

$$D_G = \binom{M}{G} A_j^G (1 - A_j)^{M-G}$$

$G = 1..M$

Average number N_i^j of lost packets on output j

- N_i^j is calculated by taking into account the contributions of case 1 and case 2

$$E[N_i^j] = \sum_{G=1}^{M-R-1} \sum_{h=G+R+1}^{NG} (h-(G+R)) \cdot \Gamma_{h|G} D_G + \sum_{G=M-R}^M \sum_{h=M+1}^{NG} (h-M) \cdot \Gamma_{h|G} D_G$$

- Expressions of $\Gamma_{h|G}$ for $G=0$ and $G=1$

$$\Gamma_{h|0} = \begin{cases} 1 & h=0 \\ 0 & h>0 \end{cases} \quad \Gamma_{h|1} = \begin{cases} \frac{\binom{N}{h} \left(\frac{p}{N}\right)^h \left(1-\frac{p}{N}\right)^{N-h}}{1 - \left(1-\frac{p}{N}\right)^N} & 0 < h \leq N \\ 0 & h=0, h > N \end{cases}$$

where $1 - \left(1 - \frac{p}{N}\right)^N$ represents the normalizing factor representing the probability of $h > 0$

Recursive formula for $\Gamma_{h|G}$

- When $G=2$

$$\Gamma_{h|2} = \sum_{x=1}^{\min(N, h-1)} \Gamma_{x|1} \cdot \Gamma_{(h-x)|1} = \sum_{x=1}^{\min(N, h-1)} \frac{\binom{N}{x} \left(\frac{p}{N}\right)^x \left(1-\frac{p}{N}\right)^{N-x}}{1 - \left(1-\frac{p}{N}\right)^N} \cdot \frac{\binom{N}{h-x} \left(\frac{p}{N}\right)^{h-x} \left(1-\frac{p}{N}\right)^{N-(h-x)}}{1 - \left(1-\frac{p}{N}\right)^N}$$

- When $2 \leq G \leq M$

$$\Gamma_{h|G} = \begin{cases} \sum_{x=1}^{\min(N, h-G+1)} \Gamma_{x|1} \cdot \Gamma_{(h-x)|(G-1)} & G \leq h \leq G \cdot N \\ 0 & h < G, h > G \cdot N \end{cases}$$

Packet Loss Probability

$$P_{Loss} = \frac{1}{M \cdot P} \cdot \sum_{G=1}^{(M-R)-1} \sum_{h=G+R+1}^{NG} (h-(G+R)) \cdot \Gamma_{h|G} \cdot D_G + \frac{1}{M \cdot P} \cdot \sum_{G=M-R}^M \sum_{h=M+1}^{NG} (h-M) \cdot \Gamma_{h|G} \cdot D_G$$

$G < M - R$
 $G \geq M - R$

$$D_G = \left(\frac{G!}{M! \cdot (M-G)!} \right) \left(1 - \left(1 - \frac{P}{N} \right)^N \right)^G \cdot \left(\left(1 - \frac{P}{N} \right)^N \right)^{M-G}$$

- D_G is the probability that G different input wavelengths send packets to output fibre j ;
- $\Gamma_{h|G}$ is the probability of h packet arrivals, given that G different input wavelengths send packets to output fibre j ;

$$\Gamma_{h|G} = \begin{cases} 0 & h < G \\ \sum_{x=1}^{h-(G-1)} \Gamma_{x|1} \cdot \Gamma_{(h-x)|(G-1)} & G < h \leq N \\ \sum_{x=1}^N \Gamma_{x|1} \cdot \Gamma_{(h-x)|(G-1)} & N < h \leq G \cdot N \\ 0 & h > G \cdot N \end{cases}$$

$$\Gamma_{h|1} = \frac{\left(\frac{h!}{N!(N-h)!} \right) \cdot \left(\frac{P}{N} \right)^h \cdot \left(1 - \frac{P}{N} \right)^{N-h}}{1 - \left(1 - \frac{P}{N} \right)^N} \quad 0 < h \leq N$$

Packet loss probability: special cases

- Full wavelength conversion

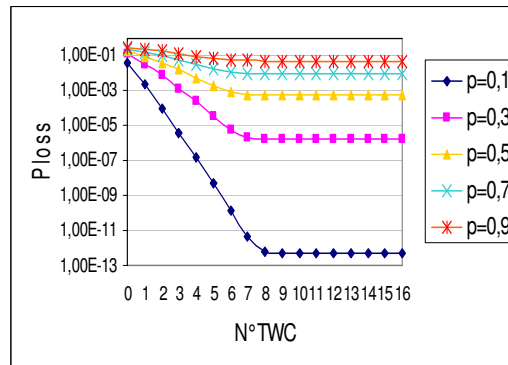
$$P_l = \frac{1}{Mp} \sum_{G=0}^M \sum_{h=M+1}^{NG} (h-M) \cdot \Gamma_{h|G} \cdot D_G$$

- No wavelength conversion

$$P_l = \frac{1}{Mp} \sum_{G=1}^M \sum_{h=G+1}^{NG} (h-G) \cdot \Gamma_{h|G} \cdot D_G$$

Packet loss probability

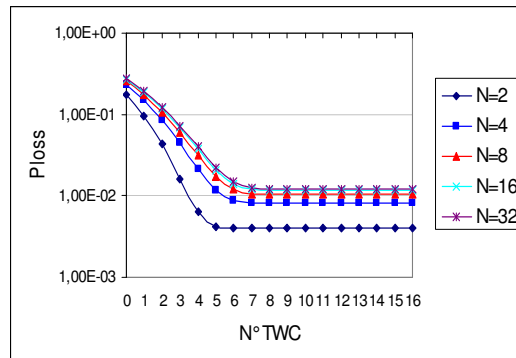
- Simulation set-up:
 - $N=8, M=16$;
- Packet loss probability as a function of the number of TWCs is evaluated in according to different values of load per wavelength;



- The results show the minimum number of wavelength converters needed to achieve the same loss of full wavelength conversion;

Packet loss probability

- Simulation set-up:
 - $M=16, P=0.7$;
- Packet loss probability as a function of the number of TWCs is evaluated in according to different switch size;



- Packet loss probability is slightly depend on switch size;

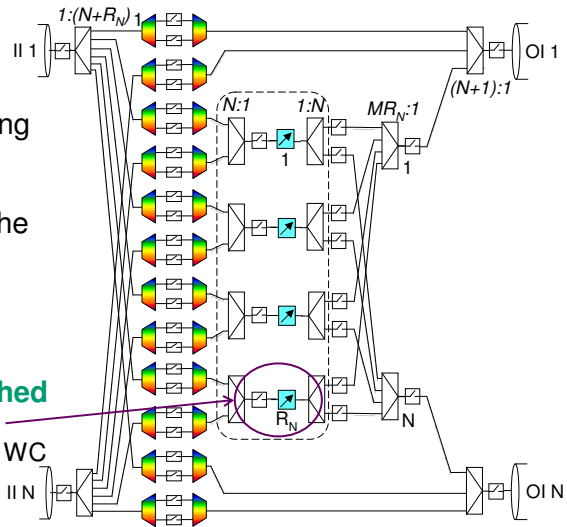
Esercitazione di laboratorio
Simulazione di diverse architetture
SPN,SPIW,SPOW,SPL

Practical architectures

- The proposed sharing schemes must be realized taking available optical technology into account
 - splitters/coupler, MUX/DEMUX, switching gates like Semiconductor Optical Amplifiers (SOA) switch...
- Different implementations can be proposed, based on broadcast-&-Select (B&S), wavelength routing (using Arrayed Waveguide Gratings, AWGs), space diversity and so on
- B&S solutions based on optical gates (SOA or MEMS technologies as example) are presented

SPN Architecture

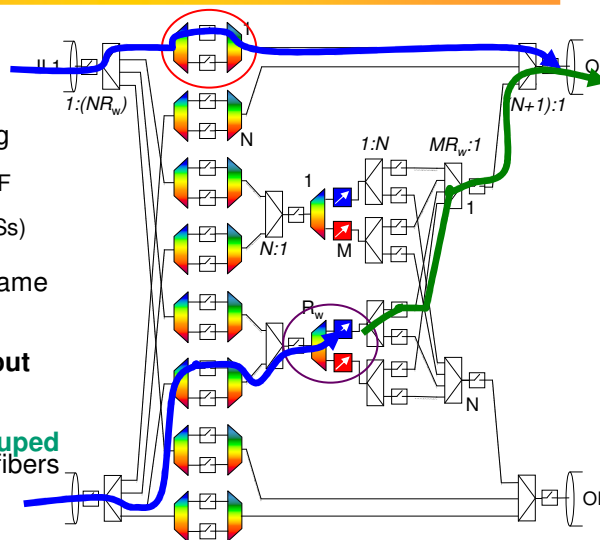
- **N** input/output fibers, **M** wavelengths
- B&S SOA-based switching matrix
- WCs shared among all the input channels
- **R** TWCs
- Each WC must be reached by all the input fibers
 - N WSs to reach a single WC



25 ()

SPIW Architecture

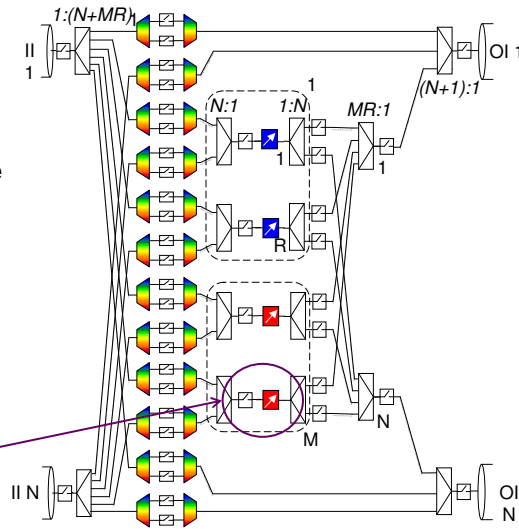
- **N** input/output fibers, **M** wavelengths
- B&S SOA-based switching matrix
 - SOA employed as ON/OFF gates
 - Wavelength Selectors (WSs)
- **R** WCs dedicated to the same input wavelength
- Fixed-input/tunable output WCs
- Allows **M** WCs to be grouped and reached by the input fibers
 - N WSs to reach M WCs



26 ()

SPOW architecture

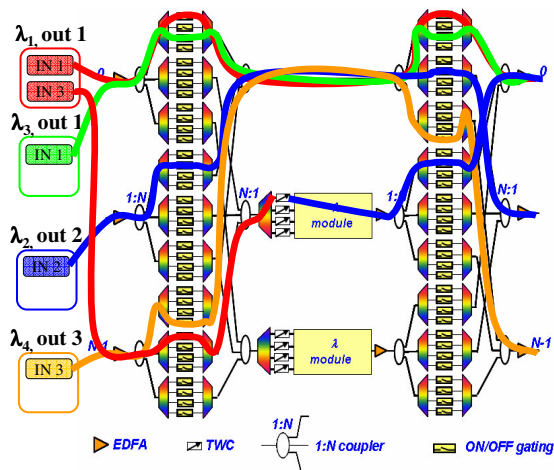
- **N** input/output fibers, **M** wavelengths
- SOA-based switching matrix
- WCs **shared among the same output wavelength**
- **R_w** WCs dedicated to the same output wavelength
- **Tunable-input/fixed-output WCs**
 - simpler devices
- Each WC must be reached by all the input fibers
 - N WSs to reach a single WC



27 ()

MS-SPIW architecture (multistadio)

- Step 1: pacchetti in ingresso sulla stessa lunghezza d'onda e diretti alla stessa uscita sono raggruppati
 - Contendono per lo stesso canale di uscita;
 - Pacchetti in gruppi differenti sono contention free
- Step 2: un pacchetto per ogni gruppo e' spedito senza conversione, altri pacchetti vanno convertiti
- Massimizza il numero di pacchetti spediti senza conversione



Architetture considerate

- Architettura SPL (shared per link):
 - convertitori di lunghezza d'onda condivisi fra pacchetti diretti alla stessa fibra di uscita
 - simulatore: **SPL.c**
- Architettura SPN (shared per node):
 - convertitori di lunghezza d'onda condivisi fra tutti i pacchetti
 - simulatore: **SPN.c**
- Architettura SPIW (shared per input wavelength):
 - convertitori di lunghezza d'onda condivisi fra i pacchetti in ingresso sulla stessa lunghezza d'onda
 - simulatore: **SPIW.c**
- Architettura SPOW (shared per output wavelength):
 - convertitori di lunghezza d'onda condivisi fra i pacchetti spediti in uscita sulla stessa lunghezza d'onda
 - simulatore: **SPOW.c**
- Architettura SPIW multistadio (MS-SPIW):
 - architettura modulare con convertitori di lunghezza d'onda condivisi fra i pacchetti in ingresso sulla stessa lunghezza d'onda
 - simulatore: **MS-SPIW.c**

Simulatori: considerazioni generali

- Simulatori permettono di calcolare il valor medio della probabilità di perdita per le architetture di commutazione considerate
- Valor medio della perdita dipende dal carico e dal numero di convertitori utilizzati
- In tutti e 3 i simulatori possono essere eseguite simulazioni in cascata variando il numero di convertitori e il carico per lunghezza d'onda
- E' possibile impostare il valore desiderato per l'intervallo di confidenza (es: intervallo di confidenza inferiore al 5% del valor medio della perdita con probabilità 95%)
 - si eseguono più simulazioni e si calcolano valor medio, varianza e intervallo di confidenza

Struttura dei simulatori

```
main {
  definizione variabili;
  inizializzazione variabili;
  acquisizione parametri da linea di comando;
  while (N° conv min < N° conv attuale < N° conv max) {
    while (carico min < carico attuale < carico max) {
      while (numero di pacchetti è inferiore a quello desiderato) {
        // simulo un time slot
        inizializzazione hardware architettura;
        generazione degli arrivi del time slot corrente;
        applicazione algoritmo di scheduling per time slot corrente;
      }
    }
  }
}
```

Simulatori: procedure in comune (1)

- Tutti e 3 i simulatori contengono delle procedure 'comuni', per la generazione di eventi pseudo-casuali
- Procedura **Ran2()**: si occupa della generazione di una sequenza pseudo-casuale di numeri
 - ogni volta che viene richiamata restituisce un numero compreso nell'intervallo 0 e 1 (1 escluso)
 - viene utilizzata dalle altre procedure che generano valori casuali (random)
- Procedura **Genera_out()**: restituisce una fibra di destinazione scelta a caso fra le N possibili (utilizza Ran2)
- Procedura **Genera_arrivo()**: restituisce la probabilità di presenza (p)/assenza (1-p) di un pacchetto su un canale di ingresso (utilizza Ran2)

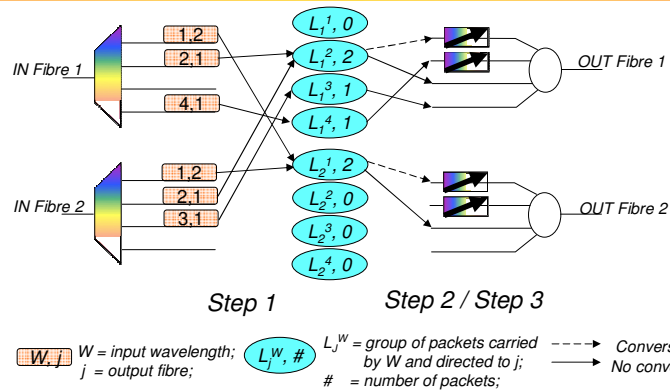
Simulatori – main (1): acquisizione dati

- Tutti i simulatori hanno la stessa organizzazione, l'impalcatura è la stessa
- In ogni simulazione vengono anzitutto eseguite queste parti in comune a tutti i simulatori
 - definizione delle variabili
 - acquisizione dei dati in ingresso tramite la procedura *acquisisci_dati()*
 - si occupa di acquisire da linea di comando i parametri da utilizzare nel corso della simulazione
 - inizializzazione delle variabili

Simulatori – main (2): inizializzazione architettura e generazione dei pacchetti

- Vengono simulati time slot fino a quando il numero di pacchetti generati non raggiunge il valore desiderato
- In ogni time slot eseguo
 - inizializzazione hardware dell'architettura con funzione *inizializza_hardware()*
 - inizializza come liberi tutti i convertitori, le lunghezze d'onda di uscita e ogni altro dispositivo hardware all'inizio di ogni time slot
 - generazione degli arrivi per il time slot corrente utilizzando la funzione *Genera_arrivi_Tslot()*
 - si occupa della generazione dei pacchetti su tutte le lunghezze d'onda di ogni fibra di ingresso all'inizio di ogni time slot (utilizza *Genera_arrivo* e *Genera_out*)

Simulatori – main (3) : algoritmo di scheduling



- Step 1: le fibre di ingresso sono scandite in maniera sequenziale e vengono formati dei gruppi di pacchetti arrivati sulla stessa lunghezza d'onda e diretti alla stessa fibra di uscita
- Step 2: i pacchetti vengono "schedulati" tenendo conto del gruppo a cui appartengono (un pacchetto da ogni set può essere spedito senza conversione)

Simulatori - main (4): algoritmo di scheduling

- Lo scheduling dei pacchetti utilizza la funzione ***sel_lambda(λ_{in}, out)*** (si differenzia da architettura ad architettura)
- Procedura ***Sel_lambda(λ_{in}, out)***: procedura che effettua lo scheduling dei pacchetti. Viene richiamata ogni volta che c'è presenza di un pacchetto su un canale di ingresso; vengono passati la lunghezza d'onda su cui il pacchetto arriva e la sua fibra di destinazione.
 - la procedura calcola la lunghezza d'onda su cui spedire il pacchetto nella fibra di destinazione tenendo conto dello stato di occupazione delle fibre e del numero di convertitori disponibili
 - se il pacchetto non può essere spedito restituisce un valore nullo (-1)
- Questa procedura dipende dall'architettura considerata per cui ognuno dei 3 simulatori ha una sua *sel_lambda()*

Procedura *Sel_lambda*(λ_{in} , *out*) per SPL.c

```
/* SPEDISCO IL PACCHETTO SENZA CONVERSIONE SE POSSIBILE */
If ( $\lambda_{in}$  è libera nella fibra di destinazione) {
    if (c'è almeno un link ottico libero sulla interfaccia di uscita out)
        occupo il link utilizzato
        occupo  $\lambda_{in}$  nella fibra di uscita
        restituisco  $\lambda_{in}$ 
    }
    else (se c'è almeno un convertitore libero) {
        occupo il convertitore utilizzato
        occupo  $\lambda_{in}$  nella fibra di uscita
        restituisco  $\lambda_{in}$ 
    }
}
else /* SPEDISCO IL PACCHETTO SFRUTTANDO LA CONVERSIONE */
    if (c'è una  $\lambda_z$  libera nella fibra out e c'è un convertitore libero nell'interfaccia out) {
        occupo il convertitore utilizzato
        occupo  $\lambda_z$  nella fibra di uscita
        restituisco  $\lambda_z$ 
    }
}

Restituisco -1 /* PACCHETTO PERSO */
```

Procedura *Sel_lambda*(λ_{in} , *out*) per SPN.c

```
/* spedisco il pacchetto senza conversione */
If ( $\lambda_{in}$  è libera nella fibra di destinazione) {
    occupo il link utilizzato
    occupo  $\lambda_{in}$  nella fibra di uscita
    restituisco  $\lambda_{in}$ 
}
else /* spedisco il pacchetto sfruttando la conversione */
    if (c'è una  $\lambda_z$  libera nella fibra out e c'è un convertitore libero) {
        occupo il convertitore utilizzato
        occupo  $\lambda_z$  nella fibra di uscita
        restituisco  $\lambda_z$ 
    }
}

Restituisco -1 /* PACCHETTO PERSO */
```

Procedura *Sel_lambda*(λ_{in} , *out*) per MS-SPIW.c

```
/* spedisco il pacchetto senza conversione */
If ( $\lambda_{in}$  è libera nella fibra di destinazione) {
    occupo  $\lambda_{in}$  nella fibra di uscita
    occupo il link utilizzato
    restituisco  $\lambda_{in}$ 
}
else { /* spedisco il pacchetto sfruttando la conversione */
    if (c'è una  $\lambda_z$  libera nella fibra out e un convertitore dedicato a  $\lambda_{in}$ ) {
        occupo il convertitore all'interno del blocco dedicato a  $\lambda_{in}$ 
        occupo  $\lambda_z$  nella fibra out e a monte del blocco di convertitori
        restituisco  $\lambda_z$ 
    }
}

Restituisco -1 /* PACCHETTO PERSO */
```

SIMULATORI: SPL.c (1)

• Simulatore architettura SPL: **SPL.c**

– Dati richiesti in ingresso:

- Numero di fibre di IN/OUT
- Numero di lunghezze d'onda per fibra
- Numero minimo di convertitori per simulazioni in cascata
- Numero massimo di convertitori per simulazioni in cascata
- Incremento del numero di convertitori fra 2 simulazioni
- Valore minimo del carico per simulazioni in cascata
- Valore massimo del carico per simulazioni in cascata
- Valore dell'intervallo di confidenza da considerare (se si decide di calcolarla)
- Numero di simulazioni da considerare per l'intervallo di confidenza
- Numero di pacchetti da simulare

SIMULATORI: SPL.c (2)

- File di output SPL.c
 - **Risultati_SPL.txt**: contiene un riassunto dei risultati ottenuti per tutte le simulazioni effettuate
 - **Ploss_SPL.txt**: contiene la probabilità di perdita per tutte le simulazioni effettuate al variare del carico (x) e del numero di convertitori (y)
 - **Utilconv_SPL.txt**: contiene l'utilizzazione media dei convertitori in un time slot al variare del carico (x) e del numero di convertitori (y)
 - **Utillinee_SPL.txt**: contiene l'utilizzazione media dei link privi di convertitori in un time slot al variare del carico (x) e del numero di convertitori (y)

SIMULATORI: SPN.c (1)

- Simulatore architettura SPN: **SPN.c**
 - Dati richiesti in ingresso:
 - Numero di fibre di IN/OUT
 - Numero di lunghezze d'onda per fibra
 - Numero minimo di convertitori per simulazioni in cascata
 - Numero massimo di convertitori per simulazioni in cascata
 - Incremento del numero di convertitori fra una simulazione e l'altra
 - Valore minimo del carico per simulazioni in cascata
 - Valore massimo del carico per simulazioni in cascata
 - Probabilità di perdita su cui calcolare l'intervallo di confidenza
 - Valore dell'intervallo di confidenza da considerare (se si decide di calcolarla)
 - Numero di simulazioni da considerare per l'intervallo di confidenza
 - Numero di pacchetti da simulare

SIMULATORI: SPN.c (2)

- File di output SPN.c
 - **Risultati_SPN.txt**: contiene un riassunto dei risultati ottenuti per tutte le simulazioni effettuate
 - **Ploss_SPN.txt**: contiene la probabilità di perdita media per tutte le simulazioni effettuate al variare del carico (x) e del numero di convertitori (y)
 - **Plossconv_SPN.txt**: contiene la probabilità di perdita dovuta alla mancanza di convertitori per tutte le simulazioni effettuate al variare del carico (x) e del numero di convertitori (y)
 - **Plossout_SPN.txt**: contiene la probabilità di perdita dovuta a contesa nelle fibre di uscita per tutte le simulazioni effettuate al variare del carico (x) e del numero di convertitori (y)
 - **Utilconv_SPN.txt**: contiene l'utilizzazione media dei convertitori in un time slot al variare del carico (x) e del numero di convertitori (y)
 - **Utillinee_SPN.txt**: contiene l'utilizzazione media dei link privi di convertitori in un time slot al variare del carico (x) e del numero di convertitori (y)

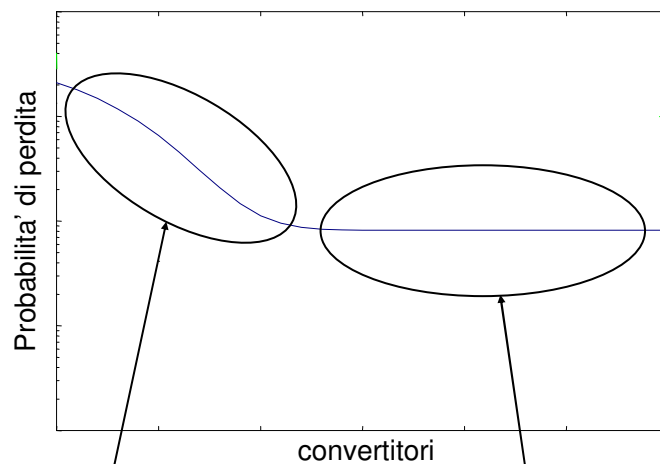
Esercitazioni guidate in laboratorio (1)

- Confronto fra le architetture
 - Valutazione delle prestazioni in termini di probabilità di perdita
 - Confrontare su uno stesso grafico la perdita per le due architetture
 - Valutare quale architettura fornisce le migliori prestazioni a parità di carico e di numero (totale) di convertitori

Esercitazioni guidate in laboratorio (3)

- Confronto fra i tempi di simulazione
 - In funzione del carico
 - In funzione delle dimensioni del commutatore
 - A parità di precisione.
- Confronto tra tempo di simulazione e tempo di esecuzione del modello
- Confronto analisi/simulazione

Probabilità di perdita in funzione dei convertitori



perdita aggiuntiva dovuta a mancanza di convertitori

Valore asintotico: dovuto a perdita per blocco in uscita

Complexity (Number of Optical Devices)

- Each sharing scheme requires a different organization of the optical devices
- Different architectures must be compared in terms of complex (and expensive) optical devices employed
- Here, we consider WCs and SOAs, which are active components
- Complexity in terms of WCs and SOAs employed

	total # WCs	total # SOAs (switching purposes)
SPN	$C_{SPN} = R$	$G_{SPN} = N(NM + (M + 1)C_{SPN})$
SPIW	$C_{SPIW} = MR$	$G_{SPIW} = N(NM + 2C_{SPIW})$
SPOW	$C_{SPOW} = MR$	$G_{SPOW} = N(NM + MC_{SPOW})$
SPL	$C_{SPL} = NR$	$G_{SPL} = N(NM + MC_{SPL})$

SPIW requires less SOAs when architectures equipped with the same number of WCs

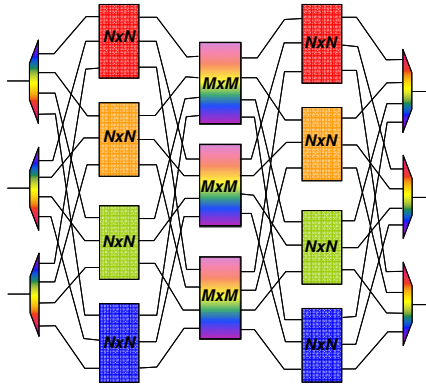
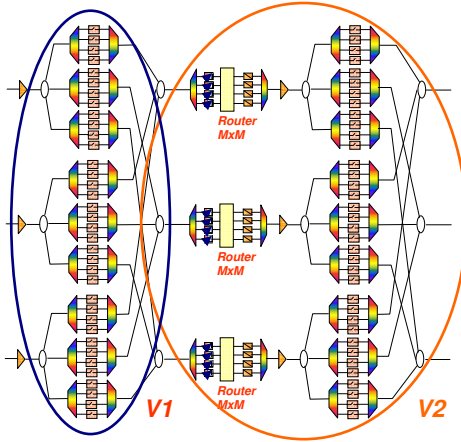
Advantages and Disadvantages of Sharing Architectures

	# WCs	Kind of WCs	#SOAs	performance/ complexity trade-off
SPN	lowest	TWCs (complex)	highest	fair
SPL	high (especially when N high, M low)	TWCs (complex)	near to SPN with some save	not good
SPIW	good (when N high, M low) fair in other cases	FTWCs (easier than TWCs)	lowest	good (when N high, M low)
SPOW	low (near to SPN)	FWCs (easiest)	near to SPN with some save	good

Architettura MS-SPN ed equivalente spaziale

- $N=3, M=4$;
- Architettura V1 e V2 in cascata;

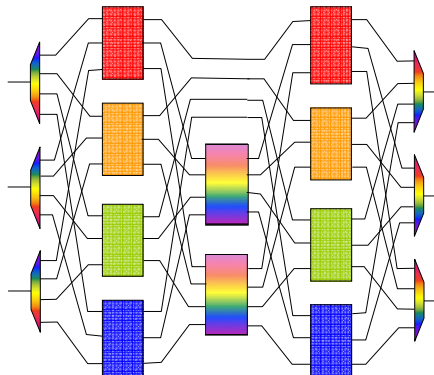
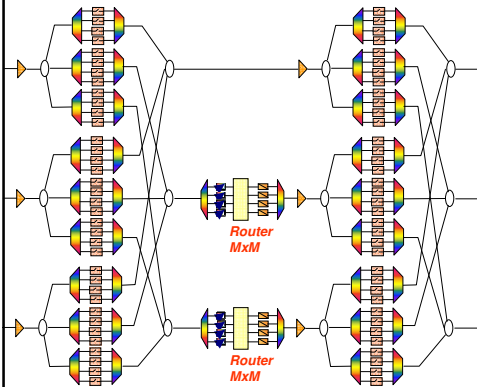
- E' ancora riarrangiabile non bloccante come la V2, ma permette di realizzare la condivisione dei convertitori fra gli ingressi (shared per node), mentre la V2 è shared per link);



Architettura MS-SPN con conversione parziale

- $N=3, M=4$;

- Non + non blocc riarrangiabile;



Buffered Architectures

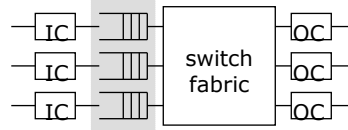
Contention resolution in the time domain

- Queues are used to delay optical packet forwarding when the contended resource is available
- Optical queues are obtained by means of fibre delay lines (FDL)
- The maximum packet delay is limited and related to the FDL length
- Different queuing schemes can be adopted

Buffer placement at the node

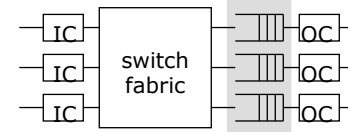
Input buffer

- Simple, FIFO
- Head of the line (HOL) blocking



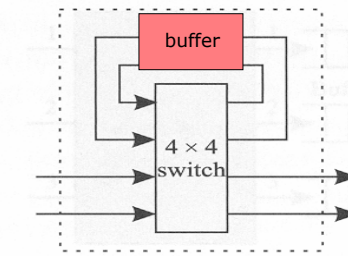
Output buffer

- No HOL blocking
- More difficult to implement

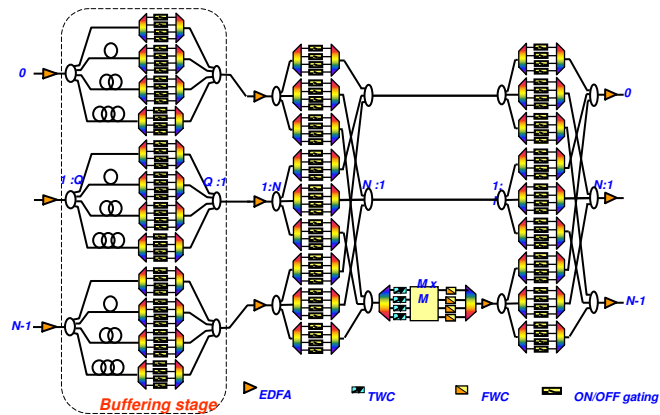


Recirculation buffers

- Shared by all inputs
- Requires larger switch size



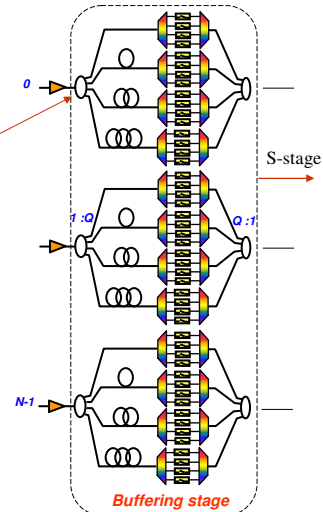
The multi-stage architecture with input buffers



- A queuing stage based on the broadcast and select principle is added
- The behaviour of the S-λ-S sub-system is the same as before

The queueing stage

- A power coupler generates Q copies of the multi-wavelength bundle of channels
 - $D = k T$, $k=0..Q-1$; T is the packet time
- Each FDL is followed by a wavelength selector
 - Optical packets are available at the first S -stage with all possible delays D
 - Input queuing scheduling can be applied



Queue scheduling

- Slot by slot operation
- Packets on the same input channel are organized in a list
- FIFO
 - Lists are served on a FIFO basis
 - Round robin service among lists
- Window
 - Allow to overcome the HOL phenomenon
 - If packets are present in the list, within a window of size W , which belong to a contention-free path, they are considered for forwarding

Scheduling of packet forwarding through the switch aims at minimizing wavelength conversion

Queue Scheduling pseudo code (FIFO)

step 1:
for (k=0; k < N; k++)
 for (j=0; j < M; j++)
 if (there is a packet carried by λ_j on input fiber k)
 the packet is inserted on the tail of list L_k^j ;

step 2:
for (k=0; k < N; k++)
 for (j=0; j < M; j++) {
 in=(k+RRF) mod N;
 $\lambda=(j+RRW)$ mod M;
 if ($L_{in}^\lambda \neq \text{NULL}$) {
 out=output fiber of the packet on the head of L_{in}^λ ;
 tx=sel_lambda(λ , out);
 if (tx>0)
 the packet is forwarded and removed from the head of L_{in}^λ ;
 if ((tx== -1) && (T - C_{in}^\lambda == Q - 1))
 the packet is removed from the head of L_{in}^λ ;
 }
 }
 RRF=(RRF+1) mod N;
 if (RRF==0) RRW=(RRW+1) mod M;

Step 1: lists are formed for each channel

Step 2:
a packet is extracted from the head of each list (FIFO)

RRF and RRW are counters that assure fairness

Sel_lambda is a procedure to find a path through the switch

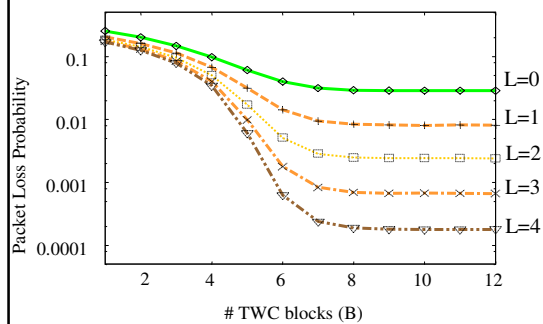
Quality of service

- Input queuing allows also quality of service differentiation in the node
- A simple QoS algorithm is considered to manage two QoS classes
 - The scheduling algorithm considers high priority packets first, if present in the list
 - Low priority packets are then searched for, otherwise

Simulation set up

- Bernoulli independent arrivals on input channels
- Uniform addressing scheme
- FIFO-RR and W-RR scheduling
- Confidence interval at 95%
 - Less than or equal to the 5% of the mean

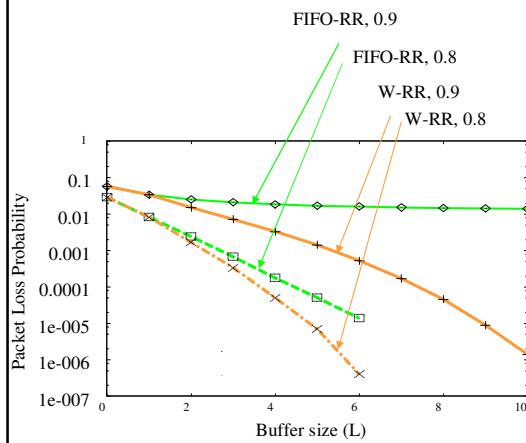
Packet loss improvement



- $N=16, M=16$
- FIFO-RR
- $p=0.8$
- L buffer size
- Remarkable improvement when internal block is overcome (asymptotic region)

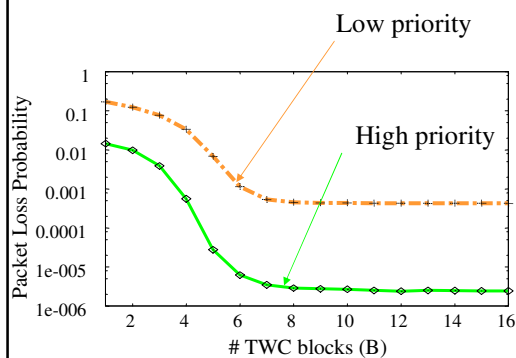
Output contention resolution in time domain

Effects of the queue scheduling



- $N=16, M=16$
- $B=N$
- FIFO-RR, W-RR
- $\rho = 0.8$ and 0.9
- The benefit becomes more evident as buffer length increases

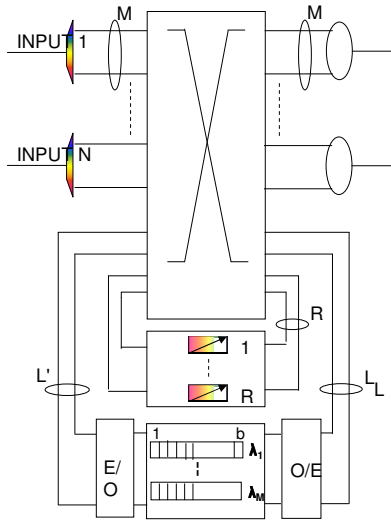
Quality of service aspects



- $N=16, M=16$
- $L=5$
- $\rho=0.8$
- Remarkable QoS differentiation even with low buffer values

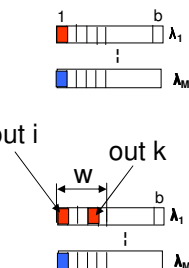
Single stage with recirculation shared buffer

- N input/output fibers
- M wavelengths per fiber
- Strictly non-blocking space switching fabric
 - $(NM+R+L') \times (NM+R+L)$
- R Full Range Tunable Wavelength Converters (TWCs) shared per node
- Queuing stage with M queues (one per wavelength), with size b
 - FDLs
 - **Electronic buffers**

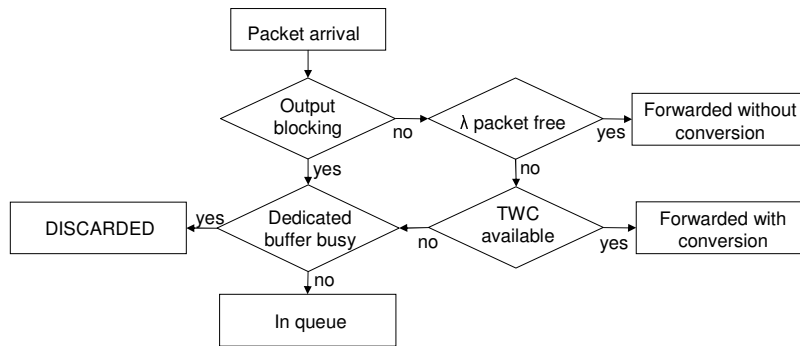


Queuing policies

- Hp: In each time slot, packets in the queues are served before packets from input fibers
- Two policies for buffer management:
 - FIFO: only the Head Of Line (HOL) packets (up to M) are served
 - Windowing: w packets in each queue can be forwarded, if directed to different output fibers
 - Window size: $w=b$, up to $M \cdot \max(b, N)$ packets can be forwarded



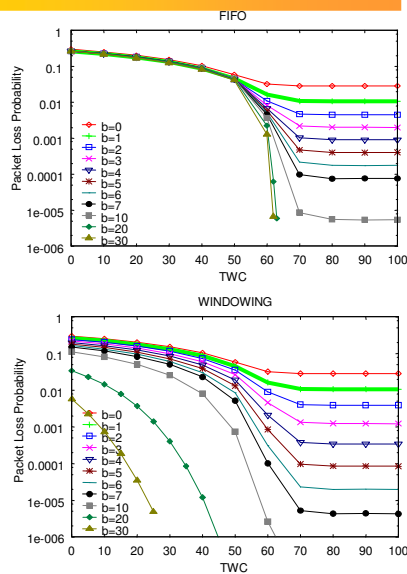
Packet forwarding



- The packet is sent without conversion, if possible
- Otherwise the packet is sent with conversion
- If output fiber is congested or no TWC is available, the packet is stored in the queue
- The packet is lost when its queue is busy

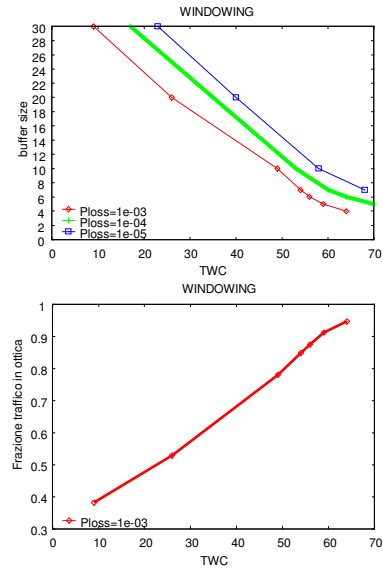
Packet loss probability

- $P_{loss} = f(TWC)$, varying buffer size b ,
- $N=16, M=16, L=L'=256, p=0.8$
- FIFO: improvement when buffer size increases only if enough TWCs are available
 - Due to the saturation of the queues
- Windowing: relevant improvement of the throughput in all regions
 - Small number of TWCs can be enough to assure low packet loss

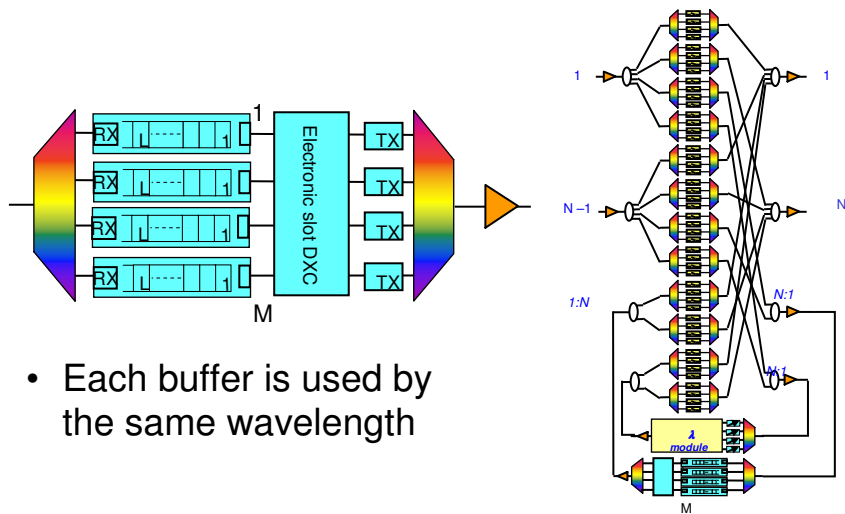


Switch dimensioning

- $b=f(\text{TWC})$, to obtain a target PLP
- $N=16, M=16, L=256, p=0.8$
- Different couples (b, TWC) can be chosen to obtain the same packet loss
- The percentage of packets forwarded without O/E conversion decreases as the number of TWCs decreases
- If a certain percentage of packets must be forwarded in optics, a certain number of TWCs must be employed



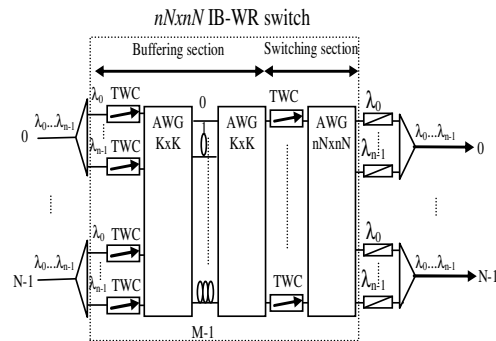
Practical implementation of the hybrid switch



- Each buffer is used by the same wavelength

All optical AWG based buffered switch

- The first TWC stage is used to choose the FDL delay
- The second TWC stage is used to choose the output interface
- Good performance
- Low scalability in relation to TWC tuning range



Esercitazione di laboratorio Architetture di commutazione con buffer ottici e architetture ibride opto-elettroniche

Ing. Michele Savi
DEIS - Università di Bologna

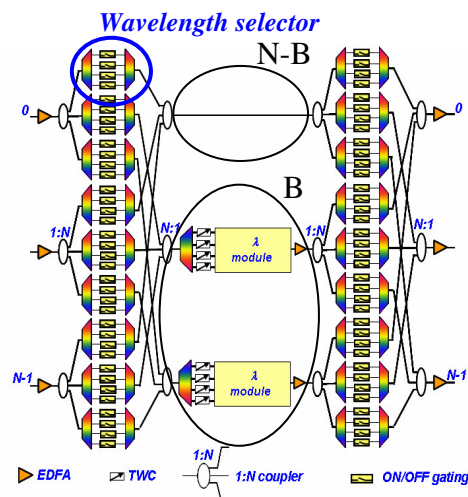
michele.savi@unibo.it

Architetture di commutazione con bufferizzazione

- Permettono di risolvere la contesa nel dominio temporale, in aggiunta al dominio della lunghezza d'onda
- Buffer completamente ottici
 - Fiber Delay Lines (FDLs)
 - Spezzoni di fibra che consentono la memorizzazione di un pacchetto per un tempo prefissato
 - Il pacchetto (payload) rimane nel dominio ottico per tutto il percorso all'interno dell'architettura
- Buffer elettronici (architettura ibrida opto-elettronica)
 - Random Access Memories (RAMs)
 - Consentono la memorizzazione di un pacchetto per un tempo a piacere
 - Richiedono la conversione da dominio ottico a elettronico e viceversa

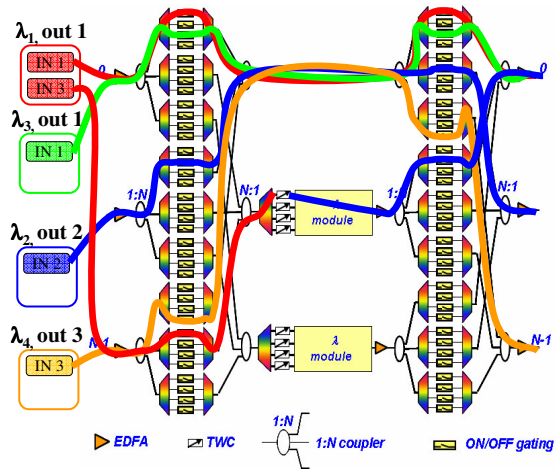
Implementazione dello schema SPW: architettura Space-Lambda-Space (S- λ -S) multi-stadio

- Architettura che implementa lo schema SPW con ridotta complessità in termini di interruttori ottici (SOA)
- Il primo e terzo stadio sono broadcast & select
- I convertitori sono divisi in B gruppi
 - In un gruppo ci sono M TWCs, ognuno serve una differente lunghezza d'onda
 - B TWCs per lunghezza d'onda
- Complessità: $2N^2M$, non dipende dal numero di convertitori

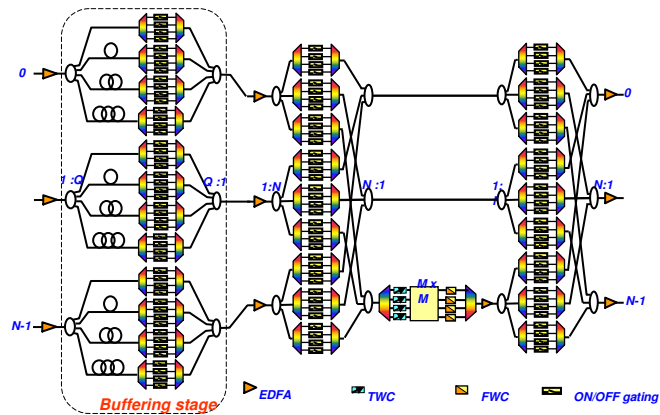


Algoritmi di controllo S-λ-S: esempio

- Algoritmo di scheduling euristico
- Fase 1: raggruppamento i pacchetti
- Fase 2: spedisco i pacchetti senza conversione
- Fase 3: spedisco i pacchetti con conversione



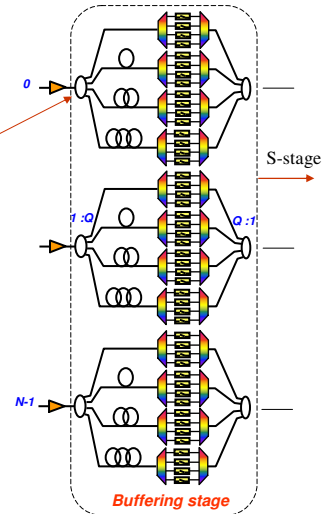
Architettura con accodamento ottico in ingresso



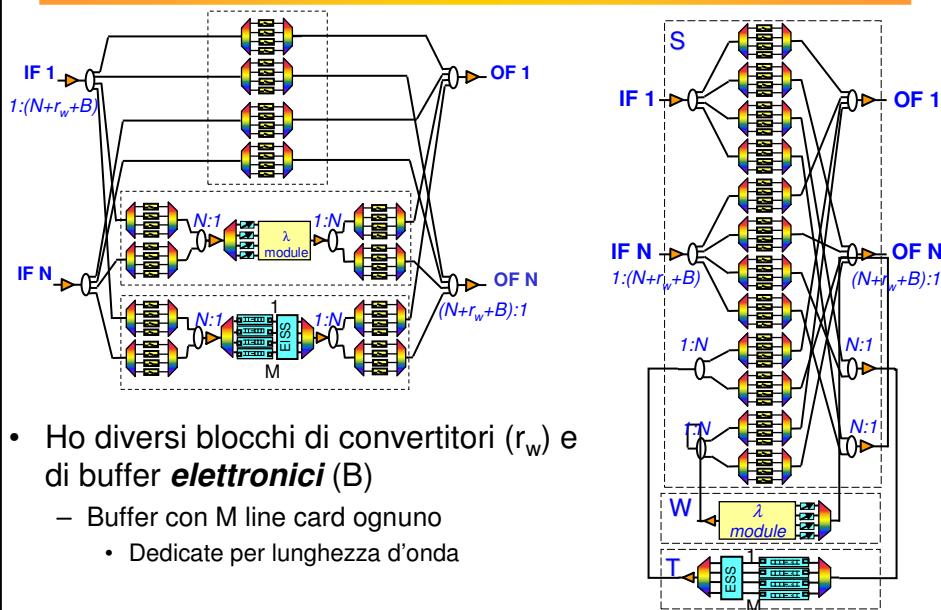
- Uno stadio di accodamento ottico basato su FDLs aggiunto in ingresso
- Rappresenta una SPW con accodamento in ingresso

Stadio di accodamento ottico in ingresso

- Q copie del segnale WDM in ingresso
 - Possibili ritardi, $D = kT$, $k=0..Q-1$; T è la durata del pacchetto
- WSs permettono di selezionare quale pacchetto voglio spedire
 - Scheduling per input queueing possono essere applicati
- Pacchetti nello stesso canale di ingresso sono organizzati in una lista
 - FIFO
 - Liste servite in maniera FIFO
 - Servizio round-robin fra le liste
 - Window
 - Permette di superare il blocco dovuto a HOL
 - La lista viene scorsa per una finestra W e se un pacchetto è diretto a una fibra non bloccata viene spedito



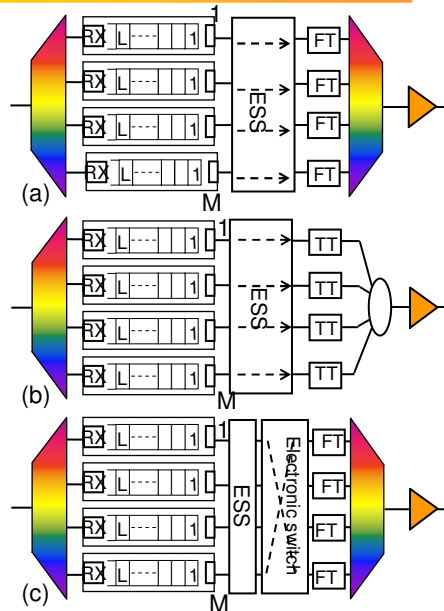
Architettura ibrida opto-elettronica



- Ho diversi blocchi di convertitori (r_w) e di buffer **elettronici** (B)
 - Buffer con M line card ognuno
 - Dedicate per lunghezza d'onda

Tipologie di blocchi di buffer

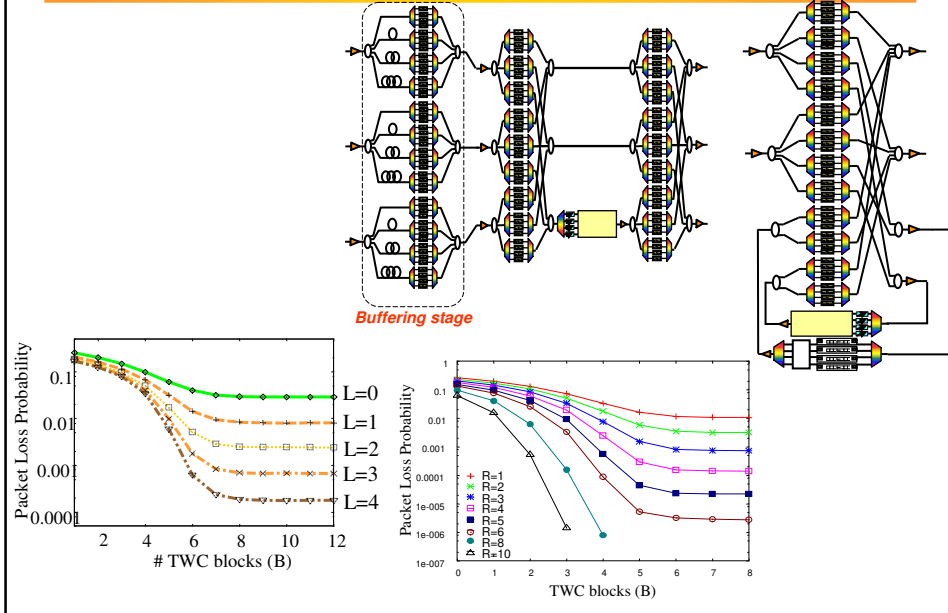
- Line cards per la memorizzazione del pacchetto elettronico con L posti in coda
- Electronic slot synchronizer per la sincronizzazione dei pacchetti da spedire nel dominio ottico
- Laser per trasmissione
 - Fixed transmitters (FT), a
 - Tunable transmitters (TT), b
- Lo schema con TT si può anche implementare con FT se si utilizza uno switch elettronico



Architettura ibrida: differenti alternative

- In ogni time slot bisogna scegliere se considerare prima i pacchetti presenti nei buffer o i pacchetti provenienti dalle fibre in ingresso (diverse politiche)
 - Buffer First (BF)
 - Input Fiber First (IFF)
- A seconda delle scelte hardware e delle politiche ottengo 4 differenti possibilità
 - FT-BF
 - TT-BF
 - FT-IFF
 - TT-IFF

Risoluzione della contesa nel dominio temporale



Physical evaluations

Optical devices

- Passive devices
 - Splitters/couplers, multiplexers/de-multiplexers
 - Power loss
 - Insertion loss
 - Non-uniformity
 - Polarization dependence
- Active devices
 - ON/OFF gates (SOA), wavelength converters, amplifiers (EDFA, SOA)
 - Amplify optical signals
 - Introduce noise

Splitter/couplers

- N ports Splitters/Couplers
- Three different effects are considered to contribute to loss:

- insertion loss

$$L_{S/C, IL}(N) = 1 + 11 \log_{10}(N) \text{ dB}$$

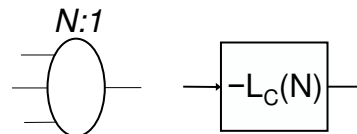
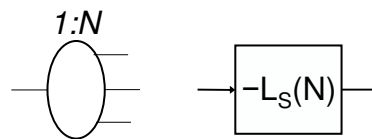
- polarization dependence

$$L_{S/C, PD}(N) = 0.3 \text{ dB}$$

- non-uniformity

$$L_{S/C, NU}(N) = 0.55N^{0.3} - 0.05 \text{ dB}$$

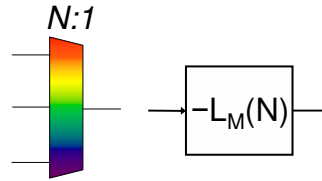
- formulas are obtained by interpolating data got from data sheets (e. g. www.enablence.com/, www.futurexusa.com/)



Multiplexers/de-multiplexers

- N wavelengths Multiplexers/Demultiplexers:

- insertion loss
 $L_{MD, IL}(N) = 1.2 \log_2(N) - 0.4$ dB
- polarization dependence
 $L_{MD, PD}(N) = 0.05 \log_2(N) + 0.05$ dB
- non-uniformity
 $L_{MD, NU}(N) = 1$ dB



- in de-multiplexers, there is also incoherent crosstalk contribution from other wavelengths (non-ideal filters)

$$OX(N)_{dB} = 10 \log_{10}(1 + X(N)),$$

with $X(N) = 2X_A + (N-3)X_B$ (linear)

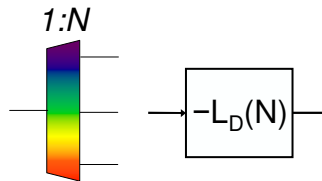
X_A contribution from adjacent channels:

$$X_A_{dB} = -25$$
 dB

X_N contribution from non-adjacent channels:

$$X_N_{dB} = -45$$
 dB

- this contribution must be accounted at the receiver as an interference

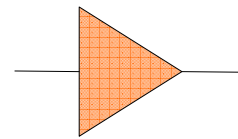


- formulas obtained by interpolating data got from data sheets (ex <http://usa.accelink.com>)

EDFA

- Erbium Doped Fiber Amplifier (EDFA):

- WDM signal with up to N wavelength channels
- amplifies input signal (and noise)
- characterized by gain G_E , noise figure F_E and sensitivity S_E
- supposed to provide a constant output power equal to $P_{OUT, E, TOT}$



- input power $P_{IN, E}$ must be higher than the sensitivity

$$P_{IN, E} \geq S_E$$

$$G_E = P_{OUT, E, TOT} - P_{IN, E}$$

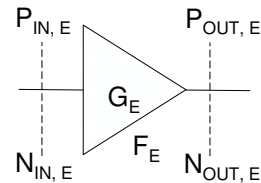
- the output power is equally divided among the wavelength channels

$$P_{OUT, E} = P_{OUT, E, TOT} - 10 \log(N)$$

- introduces additional Amplified Spontaneous Emission (ASE) noise, output spectral noise density:

$$N_{OUT, E} = N_{OUT, E} G_E + hf(G_E - 1)F_E$$

- h Plank's constant, f frequency, $N_{IN, E}$, $N_{OUT, E}$ input and output spectral noise densities (white noise is assumed, no dependence from f)



SOA

- Semiconductor Optical Amplifier (SOA):

- often used to amplify one single wavelength channel
- amplifies input signal (and noise)
- characterized by gain G_S , noise figure F_S , sensitivity S_S and Extinction Ratio ER
- supposed to provide a constant output power equal to $P_{OUT, S, TOT}$

- the input power $P_{IN, S}$ must be higher than the sensitivity

$$P_{IN, S} \geq S_S$$

$$G_S = P_{OUT, S, TOT} - P_{IN, S}$$

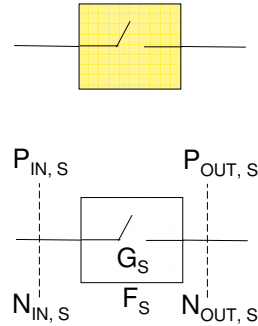
- the output power is equally divided among the wavelength channels

$$P_{OUT, E} = P_{OUT, E, TOT} - 10 \log(N)$$

- introduces additional Amplified Spontaneous Emission (ASE) noise, output spectral noise density:

$$N_{OUT, S} = N_{OUT, S} G_S + hf(G_S - 1)F_S$$

- h Planck's constant, f frequency, $N_{IN, S}$, $N_{OUT, S}$ input and output spectral noise densities (white noise is supposed, no dependence from f)



SOA cross-talk

- Semiconductor Optical Amplifier (SOA):

- Extinction Ratio ER: ratio between the output power in the ON and OFF state (ideally ∞)
- due to the finite ER, a fraction of the signal traverses the SOA even in the OFF state
- this originates coherent and incoherent crosstalk along the optical paths, which must be accounted at the receiver
- coherent crosstalk is given by:

$$IX(N) = 10 \log(1 - N/ER \cdot Q^2)$$

- N is the number of interfering sources (SOAs with ER)
- Q is a target quality factor (linear), equal to 6-7 for OOK systems with target Bit Error Rate $10^{-9} - 10^{-12}$

- incoherent crosstalk is given by:

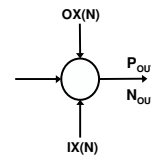
$$OX(N) = 10 \log(1 + X(N))$$

$$X(N) = 2X_A + (N - 3)X_N \text{ (linear)}$$

$$X_A = -25 \text{ dB}$$

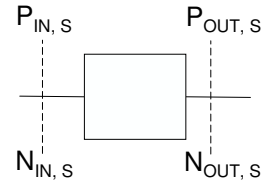
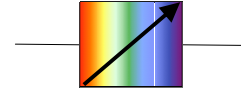
$$X_N = -50 \text{ dB}$$

- coherent and incoherent crosstalk must be accounted at the receiver as interference (additional noise sources)



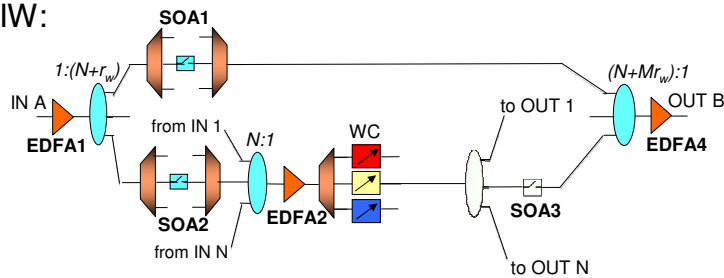
Wavelength converters

- **Wavelength Converter (WC):**
 - on output, a new wavelength is generated, the previous crosstalk effects are not further propagated
 - no further noise introduced
 - constant output power $P_{OUT, WC} = 3$ dBm
 - sensitivity $S_{WC} = 0$ dBm (high value, an SOA must be saturated)

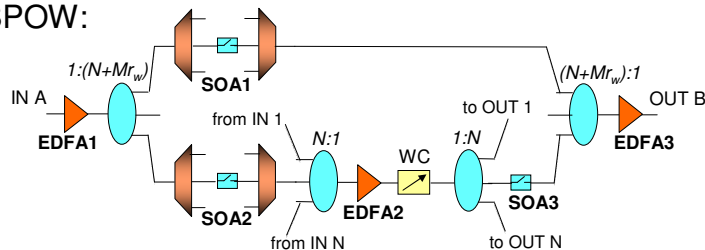


SPIW and SPOW paths

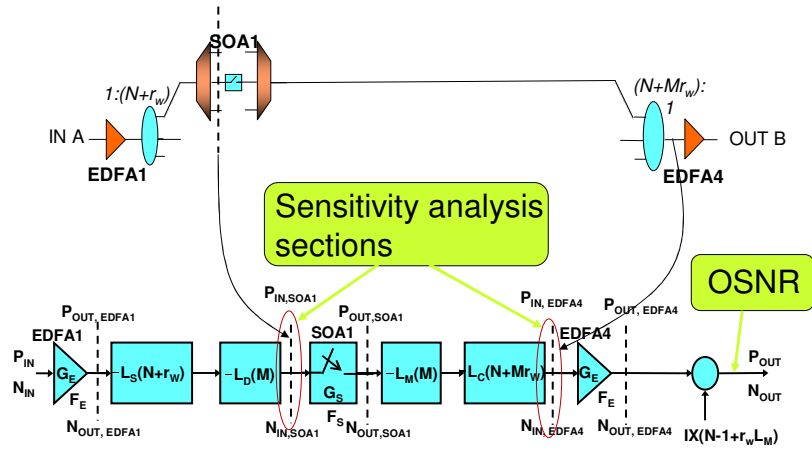
SPIW:



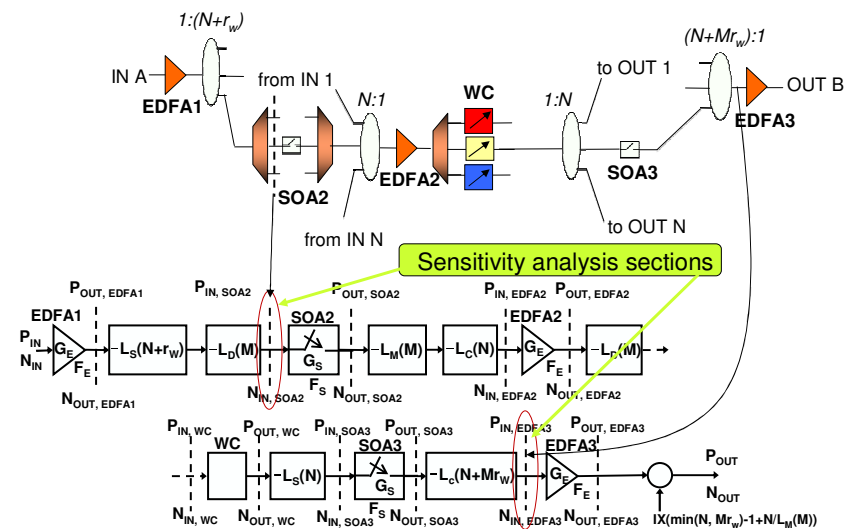
SPOW:



SPIW path without wavelength conversion



SPIW path with wavelength conversion



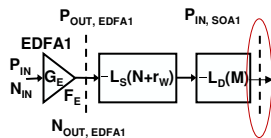
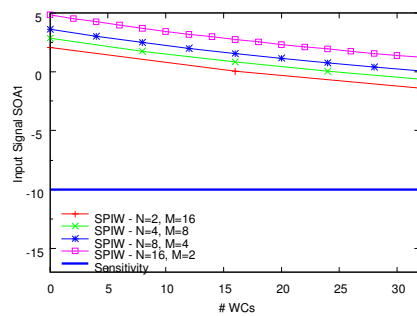
Numerical results

- Reference parameters:
 - EDFA: $P_{OUT,E} = 25$ dBm
 - SOA: $P_{OUT,S} = 8$ dBm, $S_S = -10$ dBm, $F_S = 7$ dB, $E_R = 35$ dB
 - WC: $P_{OUT,WC} = 3$ dBm, $S_{WC} = 0$ dBm
 - $OSNR_T$ at the receiver: 20 dB
- Single channel analysis
- Amplifier requirement
 - input power > sensitivity
- Receiver requirement
 - $OSNR > OSNR_T$
- Interfering sources are accounted for as additional noise at the receiver input

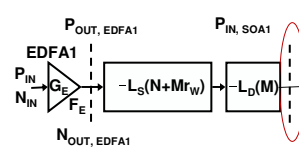
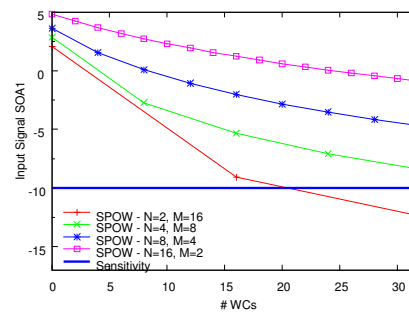
Sensitivity analysis: $NM=32$

Power at SOA1 input decreases with the number of wc

•SPIW



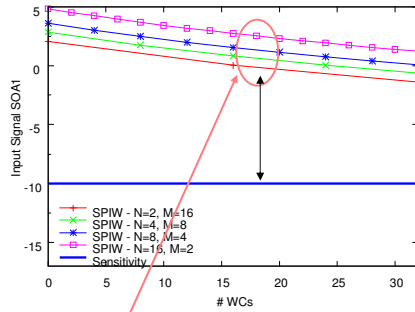
•SPOW



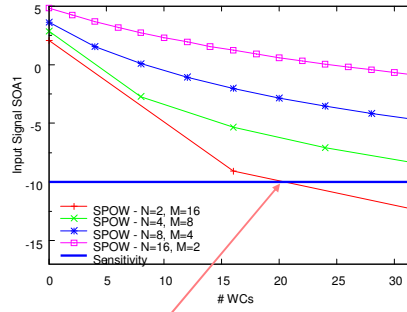
Sensitivity analysis: NM=32

Power at SOA1 input decreases with the number of wc

•SPIW



•SPOW

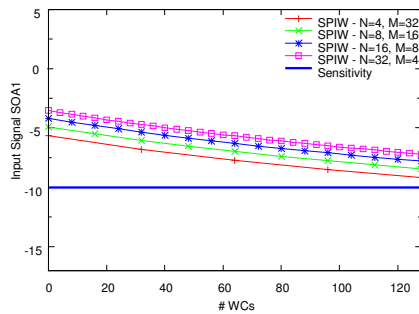


Input power is too low

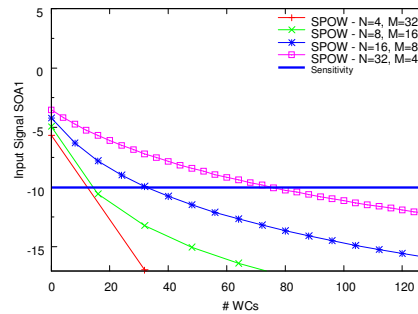
SPIW always match sensitivity constraints

Sensitivity analysis: NM=128

•SPIW



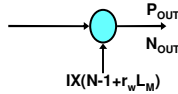
SPOW



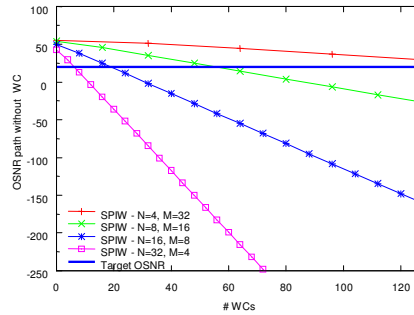
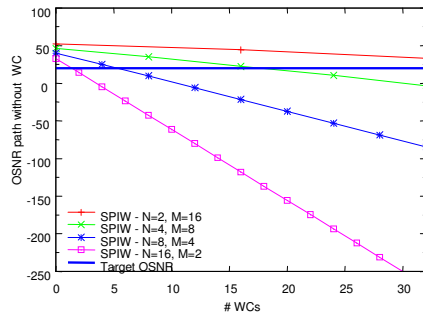
- Major limitations as the total number of channel increases
- Poor contention resolution capability in SPOW

OSNR analysis: path without wc

N=32



N=128



- Strong dependence on the number of wavelength converters when N is high due to interference effects

Motivations for Power Consumption Evaluations

- Optical switching architectures are expected to provide high aggregate capacity with small power consumption in limited footprint
- Networking consumes more and more power as the overall capacity increases
 - power consumption must be considered as one of the main aspects in both control-plane and data-plane
- **Power consumption** of the node data-plane need to be evaluated according to the proposed switching architectures and traffic patterns
- Different switching architectures must be compared not only in terms of performance and complexity, but also in terms of feasibility/scalability and power consumption

Power Consumption in Optical Architectures

- Power consumption of the data-plane is related to active devices
 - SOAs: power consumption depends on physical parameters of the device
 - width, length, loss coefficient etc...
 - WCs: power consumption depends on the technology employed
 - cross-gain modulation (CGM), cross-phase modulation (CPM), four-wave mixing
- SOA power consumption also related to the **gain** of the amplifier
- SOA only consumes power when in ON state (allowing a packet to pass through)
 - power consumption to forward a packet depends on the number of SOAs involved
 - power consumption related to forwarding procedure and packet loss

97 ()

Power Consumption in SOA Amplifiers and WCs

- Power consumption of SOAs and WCs has been evaluated in
 - V. Eramo, M. Listanti, "Power Consumption in Bufferless Optical Packet Switches in SOA Technology", *Journal of Optical Communications and Networking (JOCN)*, Vol. 1, No. 3, August 2009, pp.15-29

$$P \simeq V_b \left(1 + \frac{1}{\Gamma \alpha_{SOA} L} \ln(G) \right) i_t$$

$$i_t = \frac{qwdLN}{\tau} \simeq 100L$$

power consumption is related to the gain G provided by the amplifier

Table 1: Physical parameters needed to evaluate the power consumption of an SOA.

Symbol	Explanation	Value
w	width of all optical devices	$\sim 10^{-6}$ m
d	thickness of all optical devices	$\sim 10^{-6}$ m
α_{SOA}	SOA loss coefficient	$\sim 10^4$ 1/m
L	SOA length	300 μ m
q	electronic charge	1.6×10^{-19} C
N_b	carrier density of SOA at transparency	$\sim 10^{24}$ 1/m ³
Γ	SOA confinement factor	~ 0.25
V_b	SOA forward bias voltage	~ 1 V
τ	carrier lifetime of SOA	$\sim 10^{-9}$ s
P_s	saturation power	0.0625 W

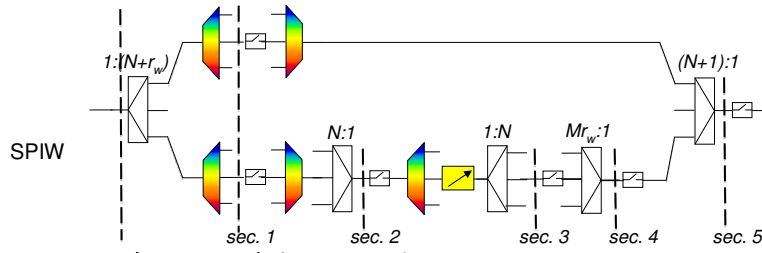
β is a parameter which depends on the technology

$\beta = 4$ CGM
 $\beta = 2$ CFM
 $\beta = 0.3-0.52$ FWM

$$P_{WC} \simeq 100LV_b + \frac{100\beta V_b}{\Gamma \alpha_{SOA}} + 10V_b \sqrt{\frac{\beta P_s}{\Gamma \alpha_{SOA}}} + 10 \sqrt{\frac{\beta P_s}{\Gamma \alpha_{SOA} V_b}}$$

98 ()

SPIW Paths

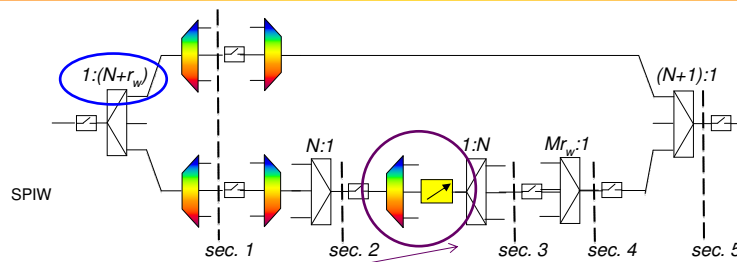


$$L_1^{SPIW} = L_{s/c}(N+r_w) + L_{D/M}(M) \quad L_2^{SPIW} = L_{D/M}(M) + L_{s/c}(N)$$

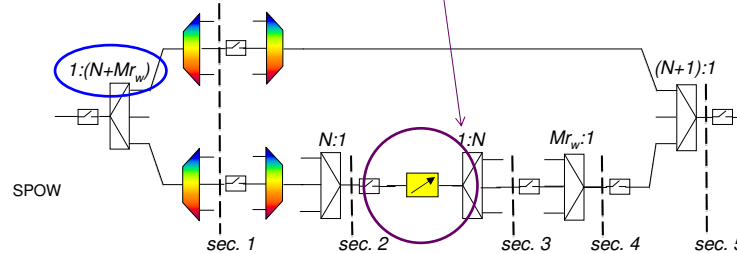
- To evaluate the gain of each SOA, the paths inside the architectures are considered and divided in different sections, according to the number of SOAs employed
- the SOA after section 'i' recovers the power losses introduced by passive optical devices in that section
 - $L_{s/c}(N)$ indicates the loss introduced by a splitter/coupler with N outputs/inputs
 - $L_{D/M}(M)$ indicates the loss introduced by a MUX/DEMUX which multipl/demultipl M wavelengths

99 ()

SPOW vs. SPIW Paths



- The difference between SPIW and SPOW is the access to the WCs



100 ()

Power Loss in Passive Devices

- Ideally, a splitter/coupler with N outputs/inputs introduces a loss equal to $10\log_{10}(N)$ dB, while an ideal MUX/DEMUX does not introduce any loss
- To obtain a more realistic evaluation, the actual loss of these devices has been evaluated following the methodology presented in:
 - D. Cuda, R. Gaudino, G. A. Gavilanes, F. Neri, G. Maier, C. Raffaelli, M. Savi, "Capacity/Cost Tradeoffs in Optical Switching Fabrics for Terabit Packet Switches", ONDM 2009
- In particular, loss expressions have been obtained by interpolating values found in data sheets of commercially available components:

- Loss of splitter/coupler: dB

$$L_{s/c}(N) = 1 + \underbrace{11 \log_{10}(N)}_{IL} + \underbrace{0.55N^{0.3} - 0.05}_{NU} + \underbrace{0.3}_{PD}$$

INSERTION LOSS NON UNIFORMITY POLARIZATION DEPENDENT

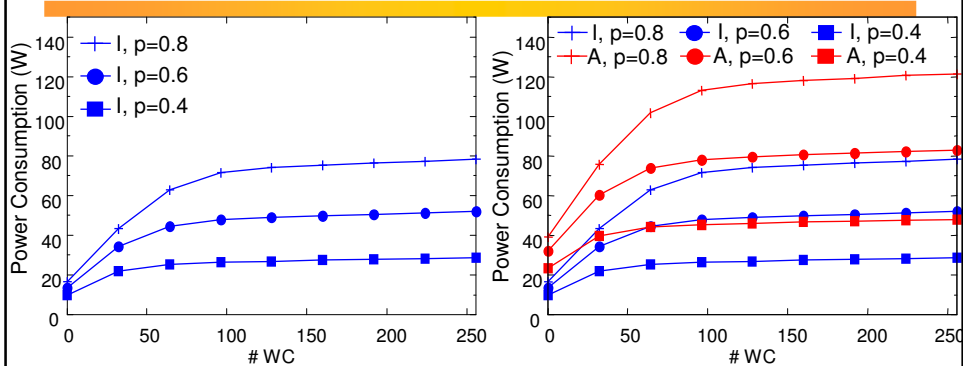
- Loss of multiplexer/demultiplexer:

$$L_{D/M}(N) = \underbrace{1.2 \log_2(N) - 0.4}_{IL} + \underbrace{1}_{NU} + \underbrace{0.05 \log_2(N) + 0.05}_{PD}$$

INSERTION LOSS NON UNIFORMITY POLARIZATION DEPENDENT

101 ()

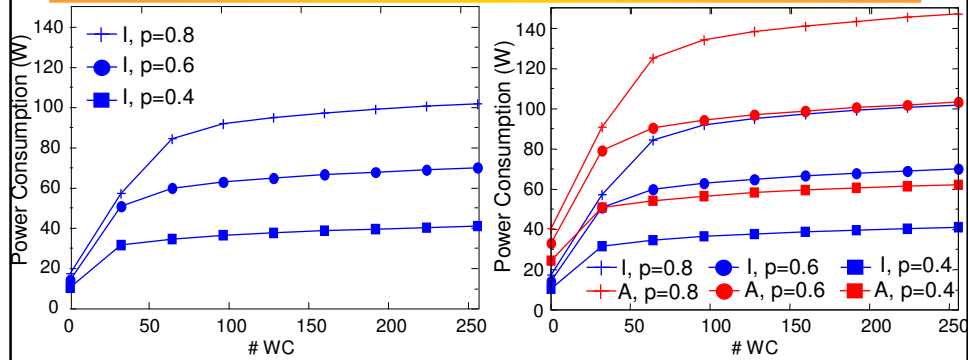
Comparison between ideal and actual power consumption: SPIW



- Power consumption of SPIW as a function of the number of WCs with **ideal** loss in passive devices
 - N=8, M=32, $\beta=4$
- When the number of WCs is low, power consumption rapidly increases with the number of WCs
- An asymptotic value is reached after a certain number of WCs (further WCs not needed)
- Power consumption significantly increases considering **actual** loss of passive devices

102

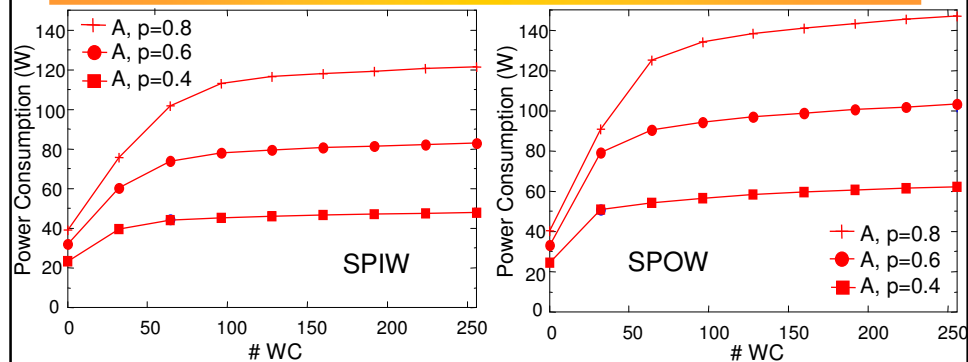
Comparison between ideal and actual power consumption: SPOW



- Power consumption of SPIW as a function of the number of WCs with **ideal** loss in passive devices
 - $N=8, M=32, \beta=4$
- When the number of WCs is low, power consumption rapidly increases with the number of WCs
- An asymptotic value is reached after a certain number of WCs (further WCs not needed)
- Power consumption significantly increases considering **actual** loss of passive devices

103

Comparison between SPIW and SPOW



- Considering actual power loss in passive devices, the SPOW consumes more power than SPIW (when equipped with the same number of WCs and high load)
- The dimensioning process should take not only loss but also power consumption (and scalability analysis) into account

104

Considerations on Power Consumption

- Power consumption of active devices in architectures with shared wavelength converters evaluated in relation to the switching matrix organization
- To obtain realistic results, actual loss values for passive devices must be considered
- SPIW provides less power consumption than SPOW especially when the load is high
- Packet loss and, consequently, forwarding algorithm influence power consumption

105 ()

Cost model

Optical packet switches: Requirements

- Performance
 - Minimize packet loss
- Fast scheduling algorithms
 - Reduce computational complexity
- Cost
 - Keep components as simple as possible
 - Limit the number of expensive components
- Different solutions can be compared in terms of performance, control and **cost**

Switch cost model

- Definitions:
 - N_{SOA}^A : number of SOAs for a generic architecture A
 - N_{TWC}^A : number of TWCs for a generic architecture A
 - C_{SOA} : cost of an SOA
 - C_{TWC} : cost of a TWC
- Cost of architecture A:
 - $C_A = N_{SOA}^A C_{SOA} + N_{TWC}^A C_{TWC}$
 - Parametric evaluation of cost:
 - $C_{TWC} = \alpha C_{SOA}$ $C_A = (N_{SOA}^A + \alpha N_{TWC}^A) C_{SOA}$

Cost comparison

- Two architectures (A and B) relying on the same kind of TWCs are considered:
 - $C_A = (N_{SOA}^A + \alpha N_{TWC}^A) C_{SOA}$
 - $C_B = (N_{SOA}^B + \alpha N_{TWC}^B) C_{SOA}$
- Architecture **A is less expensive than B** ($C_A < C_B$) when:
 - $N_{SOA}^A + \alpha N_{TWC}^A < N_{SOA}^B + \alpha N_{TWC}^B$
- Find the limiting value of α_{th} satisfying the previous condition

$$\alpha_{th} = \frac{N_{SOA}^A - N_{SOA}^B}{N_{TWC}^B - N_{TWC}^A}$$

- This condition results in
 - $\alpha > \alpha_{th}$ when $N_{TWC}^A < N_{TWC}^B$
 - $\alpha < \alpha_{th}$ when $N_{TWC}^A > N_{TWC}^B$

SPN and MS-SPW comparison

- SPN is less costly than MS-SPW when:
 - $(N_{SOA}^{SPN} + \alpha N_{TWC}^{SPN}) < (N_{SOA}^{MS-SPW} + \alpha N_{TWC}^{MS-SPW})$
- Here $N_{TWC}^{MS-SPW} - N_{TWC}^{SPN} > 0$ and $N_{SOA}^{SPN} - N_{SOA}^{MS-SPW} > 0$
 - $\alpha > \alpha_{th} = \frac{N_{SOA}^{SPN} - N_{SOA}^{MS-SPW}}{N_{TWC}^{MS-SPW} - N_{TWC}^{SPN}}$
- N_{TWC}^{MS-SPW} and N_{TWC}^{SPN} are the minimum number of TWCs to obtain the asymptotic value of PLP
- N_{SOA}^{SPN} and N_{SOA}^{MS-SPW} are given by:
 - $N_{SOA}^{SPN} = (NM)^2 + NR(2M-1)$
 - $N_{SOA}^{MS-SPW} = 2N^2M$

Value of α_{th} as a function of N and M

- Value of α_{th} varying:
 - the number of fibers in case M=16, $p=0.3, 0.5, 0.7$
 - The number of wavelengths per fiber in case N=16, $p=0.3, 0.5, 0.7$
- The number of wavelength converters is chosen as the minimum to obtain the asymptotic loss probability
- SPN less costly than MS-SPW when $\alpha > \alpha_{th}$
- The value of α_{th} are very high because SPN uses strictly non-blocking space matrixes
- α_{th} increases when N or/and M increases

